

Un approccio integrato per la gestione
efficace dei rischi di inquinamento delle acque
da contaminanti emergenti



Perfluorinated compounds
HOlistic ENvironmental
Interinstitutional eXperience



Prevenire, Garantire, Promuovere

Progetto LIFE PHOENIX

lifephoenix.eu

ENTE COORDINATORE



PARTNER ASSOCIATI



WITH THE CONTRIBUTION OF THE LIFE FINANCIAL
INSTRUMENT OF THE EUROPEAN UNION
LIFE16ENV/IT/000488 - LIFE PHOENIX

Metodiche analitiche di residui di PFAS in organismi animali e vegetali

Claudia Ferrario, Stefano Polesello e Sara Valsecchi
IRSA-CNR Brugherio



WITH THE CONTRIBUTION OF THE LIFE FINANCIAL
INSTRUMENT OF THE EUROPEAN UNION
LIFE16ENV/IT/000488 - LIFE PHOENIX

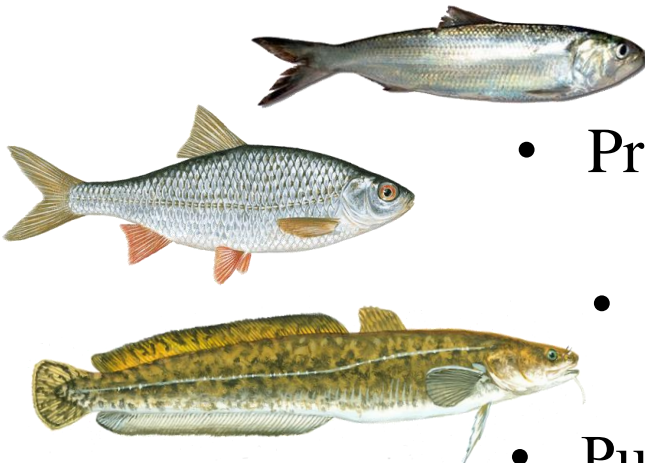
Determinazione di PFAS in organismi animali

articoli pubblicati
2019-2020

The figure displays three academic articles from 2019-2020, each with a circled title element:

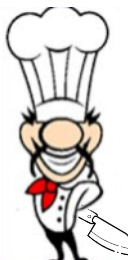
- Article** *Trophic Magnification of Legacy (PCB, DDT and Hg) and Emerging Pollutants (PFAS) in the Fish Community of a Small Protected Southern Alpine Lake (Lake Mergozzo, Northern Italy)*
Michela Mazzoni^{1,2,*}, Claudia Ferrario², Roberta Bettinetti¹, Roberta Piscia³, Davide Cicali³, Pietro Volta³, Katrine Borgå⁴, Sara Valsecchi² and Stefano Polesello^{2,*}
Contents lists available at ScienceDirect
journal homepage: www.elsevier.com
- Article** *Perfluoroalkyl Substances (PFASs) in Fish from European Lakes: Current Contamination Status, Sources, and Perspectives for Monitoring*
Sara Valsecchi,^{a,1,*} Marc Babut,^{b,1} Michela Mazzoni,^{a,c} Simona Pascariello,^a Claudia Ferrario,^a Beatrice De Felice,^d Roberta Bettinetti,^c Bruno Veyrand,^e Philippe Marchand,^e and Stefano Polesello^a
Environmental Toxicology and Chemistry—Volume 00, Number 00—pp. 1–19, 2020
Received: 23 April 2020 | Revised: 25 May 2020 | Accepted: 1 July 2020
- Article** *Organic Contaminants in Zooplankton of Italian Subalpine Lakes: Patterns of Distribution and Seasonal Variations*
Simona Pascariello¹, Michela Mazzoni^{1,2,*}, Roberta Bettinetti², Marina Manca³, Martina Patelli⁴, Roberta Piscia³, Sara Valsecchi¹ and Stefano Polesello^{1,*}
Environmental Toxicology and Chemistry—Volume 00, Number 00—pp. 1–19, 2020
Received: 23 April 2020 | Revised: 25 May 2020 | Accepted: 1 July 2020

Determinazione di PFAS negli animali

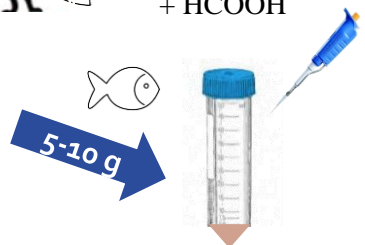


- Preparativa del campione
- Estrazione di PFAS
- Purificazione dell'estratto
- Quantificazione di PFAS (LC-MS)





SIL-IS +
10% H₂O: 90% CH₃CN
+ HCOOH



Preparativa

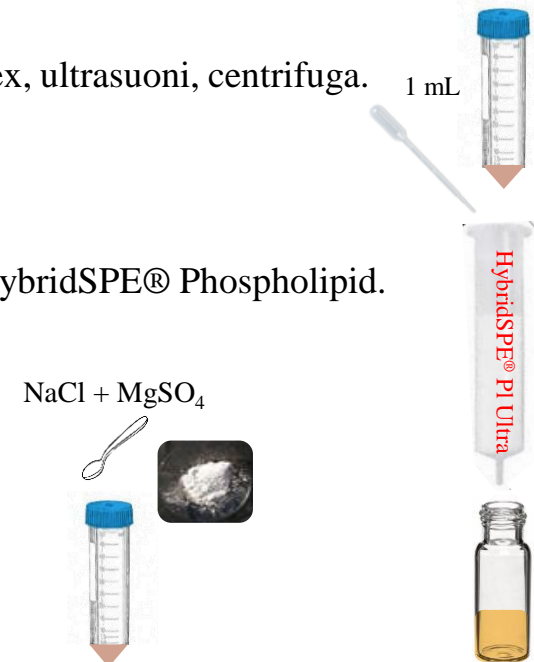
- Sfilettatura del pesce, separando le frazioni (filetto, fegato, viscere, carcassa)
- Omogeneizzazione del campione fresco
- Trasferimento del campione in falcon con aggiunta di standard interno marcato

Estrazione

(metodo Lacina et al., 2011 modificato)



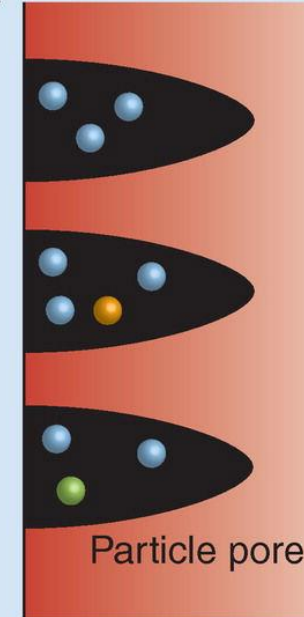
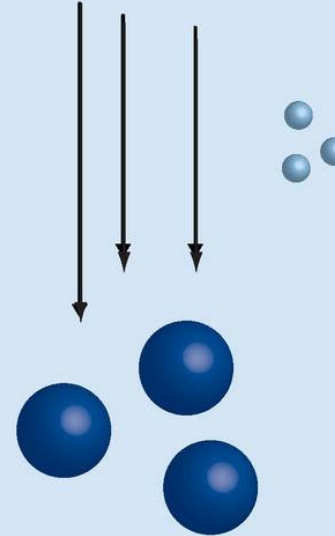
- Aggiunta di ACN acidificato e acqua in rapporto 90:10, vortex, ultrasuoni, centrifuga.
- Aggiunta di ACN acidificato vortex, ultrasuoni, centrifuga.
- Aggiunta di NaCl e MgSO₄
- Evaporazione sotto azoto fino ad 1 mL
- Eliminazione dei fosfolipidi: passaggio attraverso cartucce HybridSPE® Phospholipid.



Purificazione on-line Turbulent Flow Chromatography (TFC)

- Large molecules do not have time to diffuse into pores
- They are flushed through the column by the high-velocity mobile phase

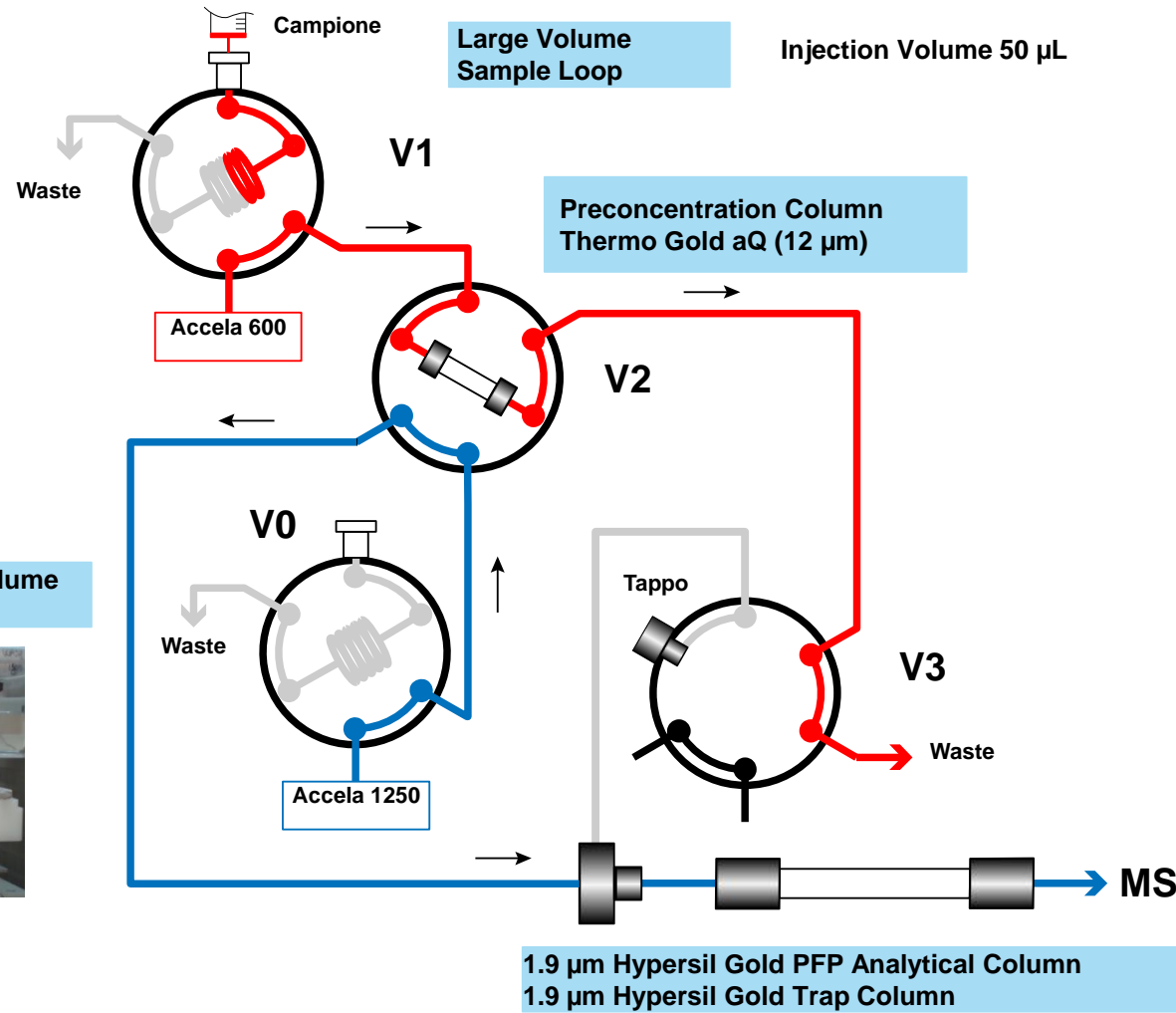
Large molecules flow to waste



Mazzoni et al., 2019. Perfluoroalkyl acids in fish of Italian deep lakes: Environmental and human risk assessment. <https://doi.org/10.1016/j.scitotenv.2018.10.274>

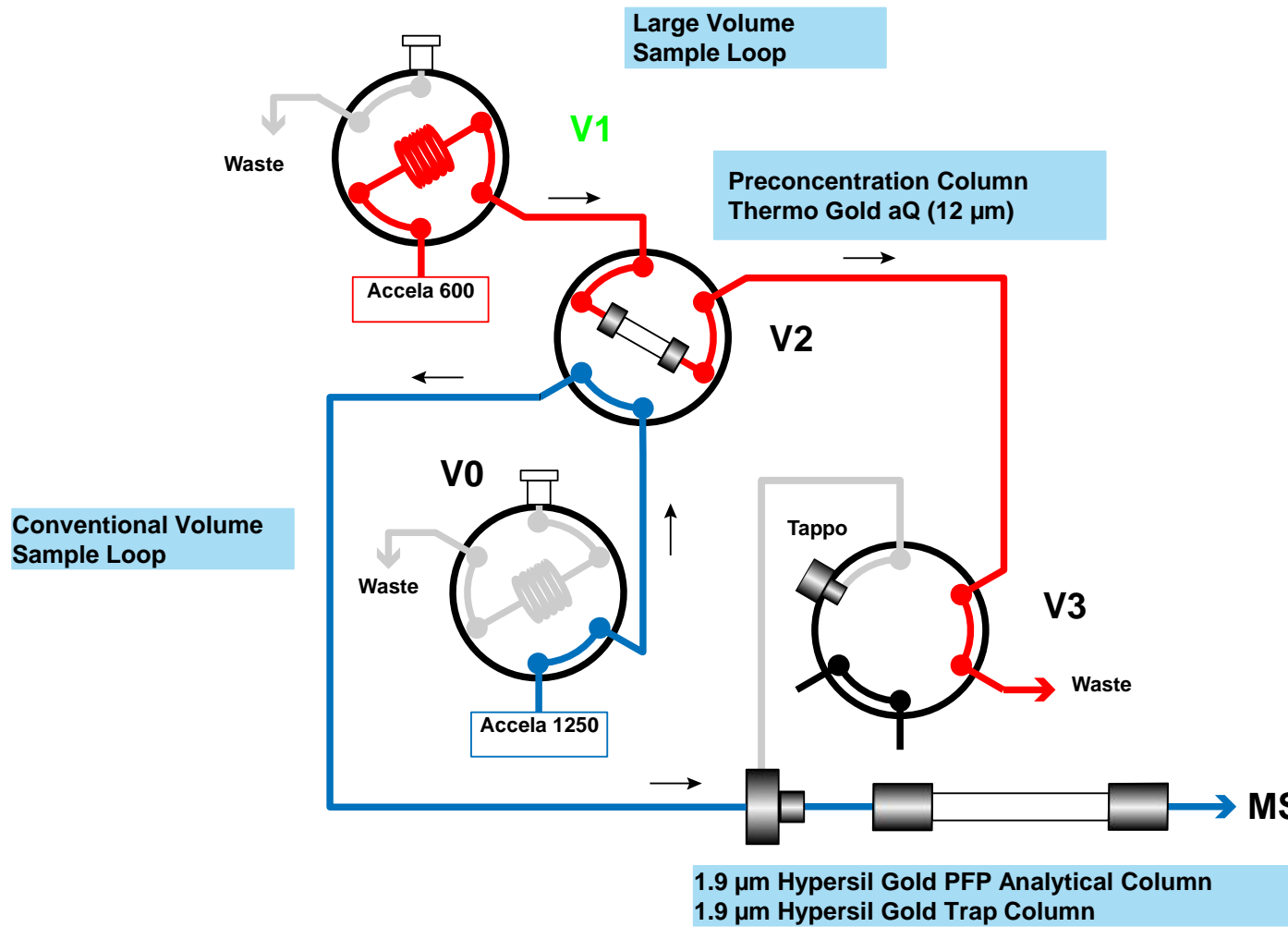
Turbulent Flow Chromatography (TFC)

riempimento del *loop*



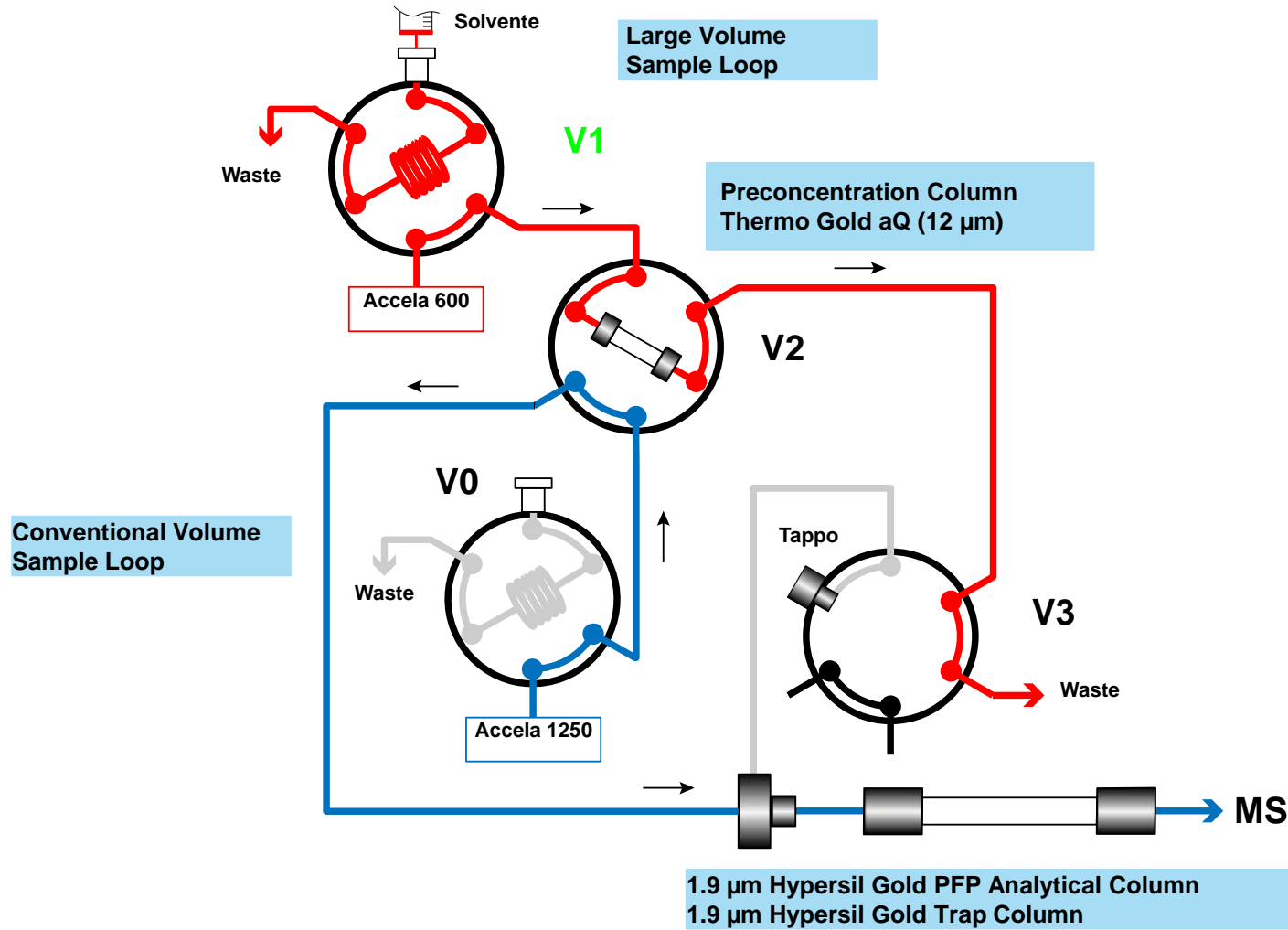
Turbulent Flow Chromatography (TFC)

purificazione del campione

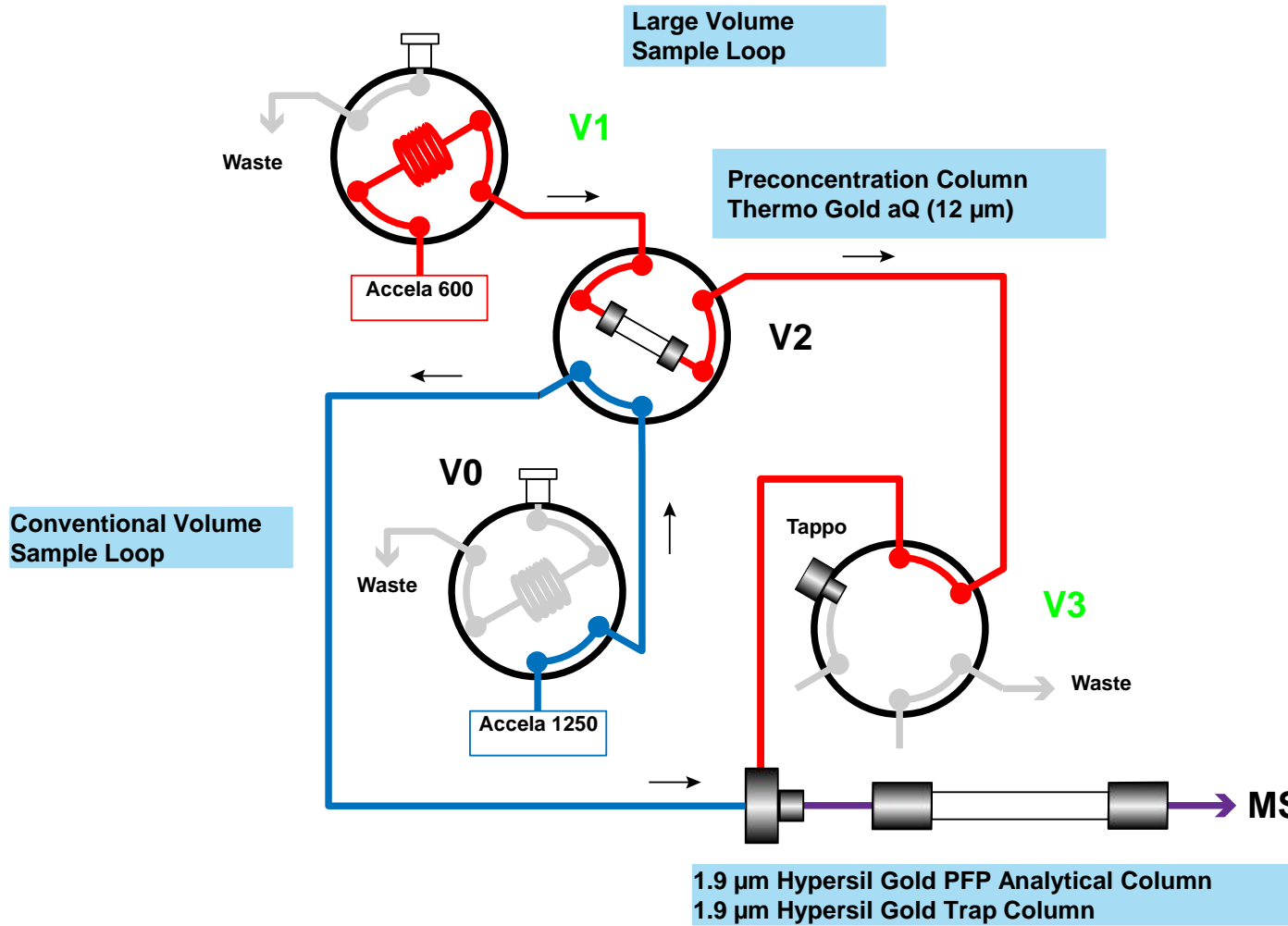


Turbulent Flow Chromatography (TFC)

caricamento del *loop* con solvente

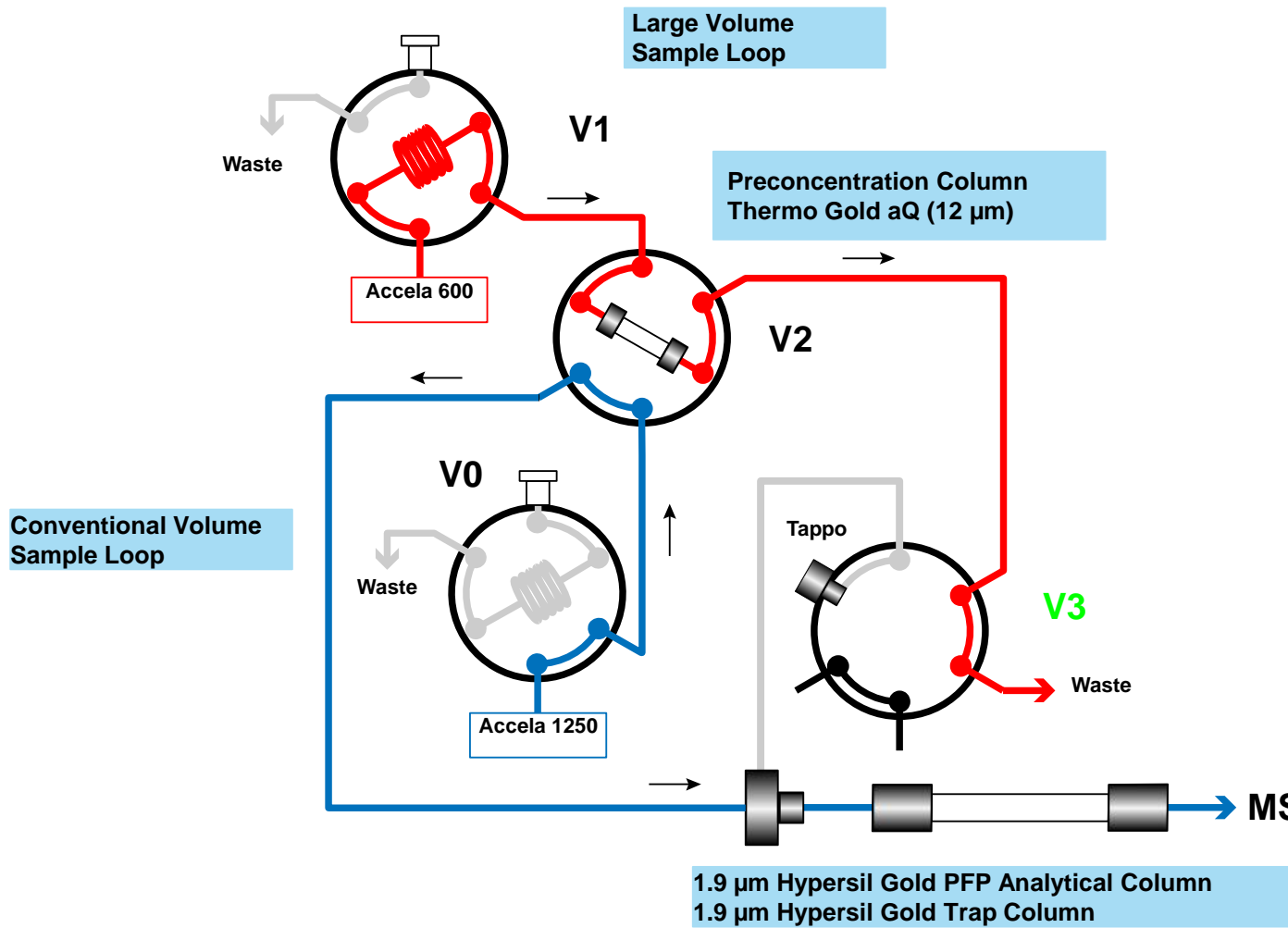


Turbulent Flow Chromatography (TFC) trasferimento alla colonna analitica



Turbulent Flow Chromatography (TFC)

separazione cromatografica



Validazione matrice animale



Matrice di prova

Stable Isotopic Labelled-Internal Standard

Acido perfluoro-n-[¹³ C ₅] pentanoico	¹³ C ₅ -PFPeA
Acido perfluoro-n-[¹³ C ₂] hexanoico	¹³ C ₂ -PFHxA
Acido perfluoro-n-[¹³ C ₄] octanoico	¹³ C ₄ -PFOA
Acido perfluoro-n-[¹³ C ₅] nonanoico	¹³ C ₅ -PFNA
Acido perfluoro-n-[¹³ C ₂] decanoico	¹³ C ₂ -PFDA
Acido perfluoro-n-[¹³ C ₂] undecanoico	¹³ C ₂ -PFUnDA
Acido perfluoro-n-[¹³ C ₂] dodecanoico	¹³ C ₂ -PFDoDA
Acido perfluoro-n-esan [¹⁸ O ₂] solfonico	¹⁸ O ₂ -PFHxS
Perfluoro-n-octane [¹³ C ₄] sulfonate	¹³ C ₄ -PFOS

PFAS ricercati

Acido perfluoropentanoico	PFPeA
Acido perfluoroesanoico	PFHxA
Acido perfluoroheptanoico	PFHpA
Acido perfluorooottanoico	PFOA
Acido perfluorononanoico	PFNA
Acido perfluorodecanoico	PFDA
Acido perfluoroundecanoico	PFUnDA
Acido perfluorododecanoico	PFDoDA
Acido perfluorobutansolfonico	PFBS
Acido perfluoroesansolfonico	PFHxS
Acido perfluorooottansolfonico	PFOS

Effetto matrice

$$ME (\%) = (Area_{molluschi} \times Area_{std}) \times 100; (N = 3)$$

Composti	Effetto matrice (%)		Effetto matrice (%)	
	Nativo	SIL-IS	Nativo	SIL-IS
	2 µg/L	4 µg/L	15 µg/L	4 µg/L
PFPeA	n.d.	n.a.	41	n.a.
PFHxA	40	42	40	46
PFHpA	43	n.a.	46	n.a.
PFOA	75	109	98	94
PFNA	66	51	57	55
PFDA	57	52	57	57
PFUnDA	66	54	55	54
PFDoDA	99	87	83	84
PFBS	n.d.	n.a.	49	n.a.
PFHxS	85	81	81	93
PFOS	n.d.	135	99	149

Linearità e sensibilità

Composti	Linearità		Sensibilità (ng/g p.f.)			
	(µg/L)	R ²	ILOD	ILOQ	MLOD	MLOQ
PFPeA*	1-100	0,997	0,2	0,7	0,3	0,9
PFHxA	1-100	0,994	0,1	0,2	0,06	0,2
PFHpA*	1-100	0,998	0,04	0,1	0,1	0,4
PFOA	1-100	0,997	0,03	0,1	0,1	0,4
PFNA	1-100	0,992	0,04	0,1	0,07	0,2
PFDA	1-100	0,995	0,03	0,07	0,07	0,2
PFUnDA	0,5-50	0,997	0,02	0,04	0,04	0,1
PFDoDA	0,5-50	0,998	0,03	0,08	0,03	0,1
PFBS*	1-100	0,999	0,2	0,4	0,3	0,8
PFHxS	1-100	0,989	0,03	0,07	0,1	0,2
PFOS	1-100	0,987	0,04	0,1	0,2	0,5

* Valori corretti con 13C2-PFHxA

Accuratezza

Composti	Precisione sol. std (%RSD)				Precisione in estratti (RSD%)				Recupero (%)		
	Intra-diem	Inter-dies	Intra-diem	Inter-dies	Intra-diem	Inter-dies	Intra-diem	Inter-dies	Bianco	Biota	Biota
	2 µg/L	2 µg/L	10 µg/L	10 µg/L	4 µg/L	4 µg/L	30 µg/L	30 µg/L	1,5 ng/g p.f.	0,4 ng/g p.f.	3 ng/g p.f.
PFPeA*	7	9	6	14	19	36	5	11	96	<LOQ	120
PFHxA	9	28	8	17	8	21	4	13	104	65	98
PFHpA*	12	9	8	7	10	6	8	4	135	<LOQ	132
PFOA	16	14	3	12	13	6	5	13	121	134	133
PFNA	7	16	4	19	4	6	3	9	108	101	109
PFDA	12	1	5	10	8	6	2	9	111	106	109
PFUnDA	13	8	5	10	12	10	4	7	112	97	111
PFDoDA	3	8	4	11	6	13	4	5	107	95	109
PFBS*	34	40	8	15	15	26	10	19	51	86	60
PFHxS	21	13	13	20	7	26	6	12	100	49	53
PFOS	47	38	7	13	18	9	5	27	71	29	40

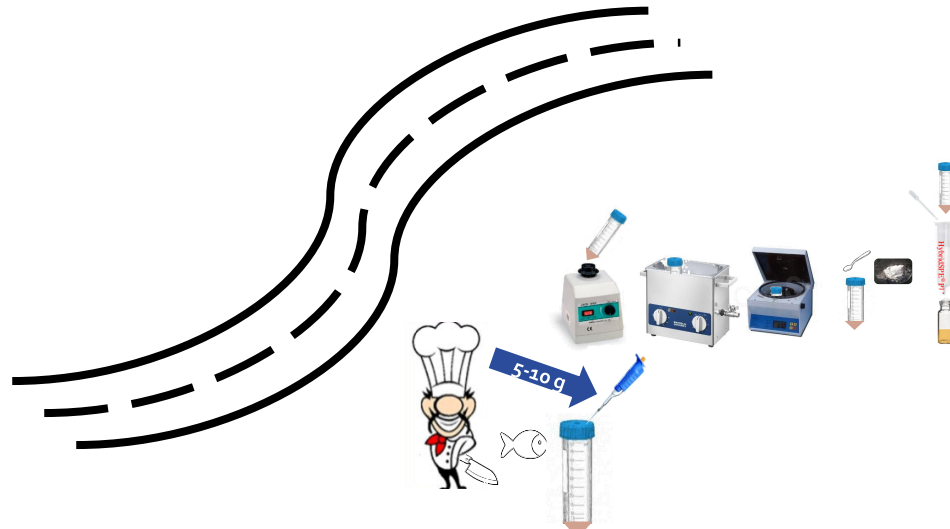
Le concentrazioni sono state calcolate con il metodo della diluizione isotopica. * Valori corretti con ¹³C2-PFHxA

Determinazione di PFAS

Vegetali

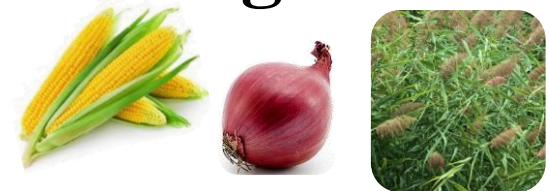


Animali

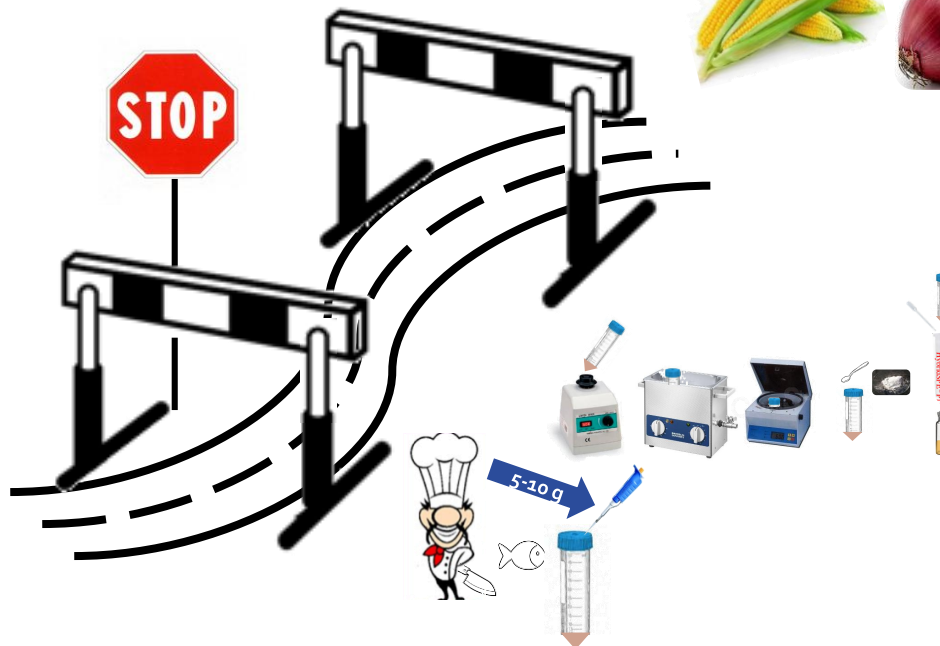
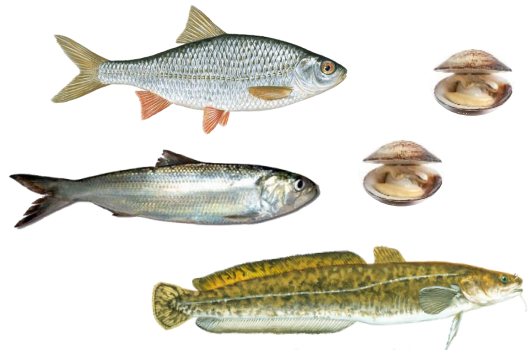


Determinazione di PFAS

Vegetali



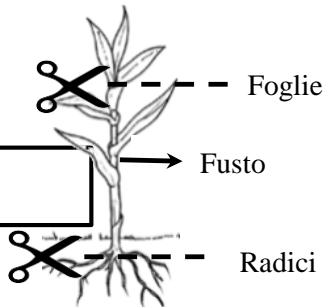
Animali



Preparativa



Taglio



Omogeneizzazione

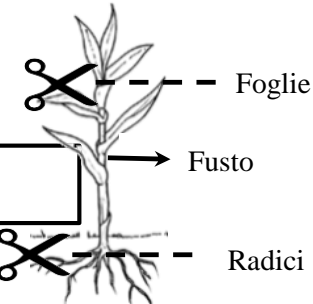
Trasferimento in falcon



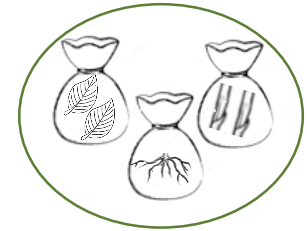
Preparativa



Taglio



Pool campioni



Essiccazione



Omogeneizzazione



Trasferimento in falcon



5-10 g

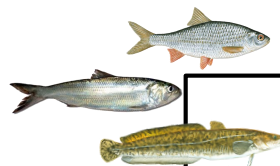


1 g



Estrazione

(metodo Lacina et al., 2011 modificato)



**ACN + ACQUA
90:10**



ACN



ACN

Concentrazione fino a 1 mL

Aggiunta sali



Eliminazione fosfolipidi

Determinazione in LC-MS



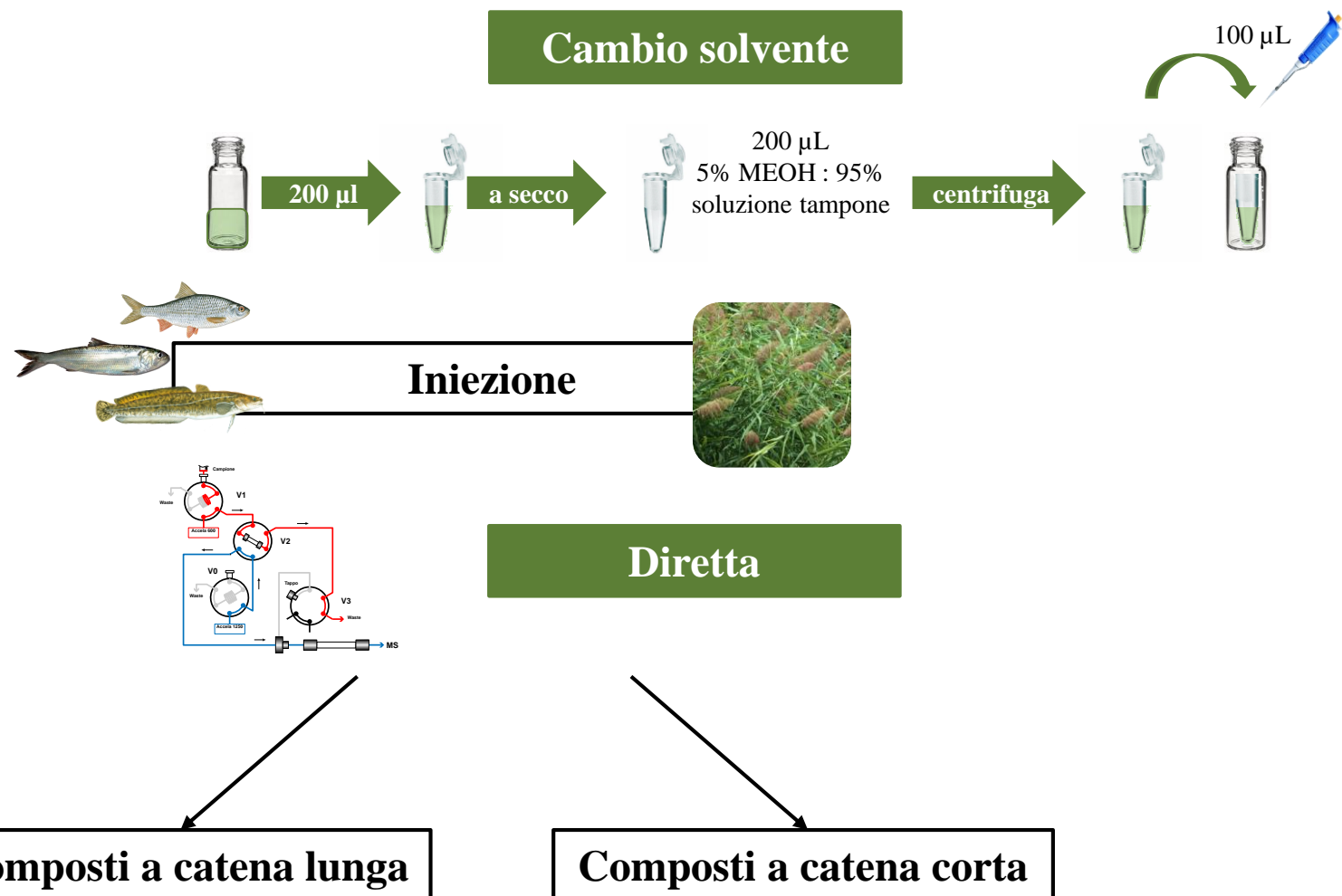
Iniezione

Diretta

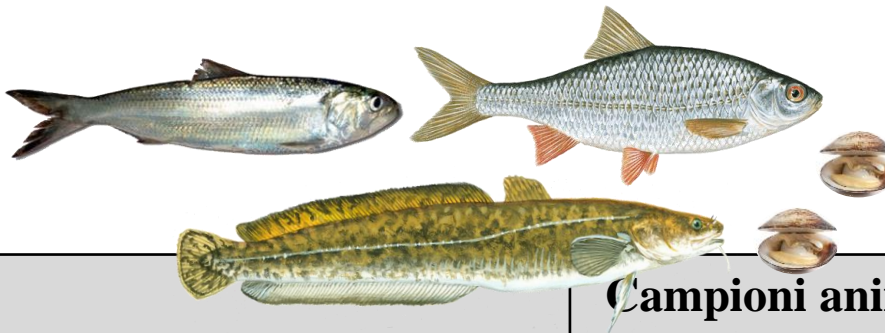
Composti a catena lunga

Composti a catena corta

Determinazione in LC-MS



Determinazione di PFAS nel biota



	Campioni animali	Campioni vegetali
Preparativa	Campione fresco	Campione secco
	5-10 g	1 g
Numero di estrazioni con solvente	2	3
Determinazione in LC-MS	TFC	Iniezione diretta
Solvente	ACN	Cambio solvente

Validazione matrice vegetale



Matrice di prova

Stable Isotopic Labelled-Internal Standard

Acido perfluoro-n-[¹³ C ₄] butanoico	¹³ C ₄ -PFBA
Acido perfluoro-n-[¹³ C ₅] pentanoico	¹³ C ₅ -PFPeA
Acido perfluoro-n-[¹³ C ₂] hexanoico	¹³ C ₂ -PFHxA
Acido perfluoro-n-[¹³ C ₄] octanoico	¹³ C ₄ -PFOA
Acido perfluoro-n-[¹³ C ₅] nonanoico	¹³ C ₅ -PFNA
Acido perfluoro-n-[¹³ C ₂] decanoico	¹³ C ₂ -PFDA
Acido perfluoro-n-[¹³ C ₂] undecanoico	¹³ C ₂ -PFUnDA
Acido perfluoro-n-[¹³ C ₂] dodecanoico	¹³ C ₂ -PFD _o DA
Acido perfluoro-n-esan [¹⁸ O ₂] solfonico	¹⁸ O ₂ -PFHxS
Perfluoro-n-octane [¹³ C ₄] sulfonate	¹³ C ₄ -PFOS

PFAS ricercati

Acido perfluorobutanoico	PFBA
Acido perfluoropentanoico	PFPeA
Acido perfluoroesanoico	PFHxA
Acido perfluoroheptanoico	PFHpA
Acido perfluorooctanoico	PFOA
Acido perfluorononanoico	PFNA
Acido perfluorodecanoico	PFDA
Acido perfluoroundecanoico	PFUnDA
Acido perfluorododecanoico	PFD _o DA
Acido perfluorobutansolfonico	PFBS
Acido perfluoroesansolfonico	PFHxS
Acido perfluorooctansolfonico	PFOS

Recupero percentuale

	Composti											
Frazione della pianta	PFBA	PFPeA	PFHxA	PFHpA	PFOA	PFNA	PFDA	PFUnA	PFDoDA	PFBS	PFHxS	PFOS
Radice	84.7	93.2	75.2	51.9	68.0	76.9	92.0	89.9	92.5	162.0	92.9	54.0
Fusto	84.4	86.8	77.7	82.7	59.4	65.3	76.6	83.3	69.0	154.4	61.7	46.1
Foglia	80.1	70.7	93.0	196.1	66.7	90.4	nd	nd	nd	125.4	70.6	57.5

LOD e LOQ

	Composti											
	PFBA	PFPeA	PFHxA	PFHpA	PFOA	PFNA	PFDA	PFUnA	PFDoDA	PFBS	PFHxS	PFOS
LOD (ng/g pf)	0.4	0.3	0.3	0.2	0.2	0.4	0.6	0.7	0.7	0.3	0.1	0.5
LOQ (ng/g pf)	1.3	1.0	1.0	0.6	0.8	1.2	2.0	2.3	2.3	0.8	0.5	1.6

Ripetibilità

Coefficiente di Variazione (%)

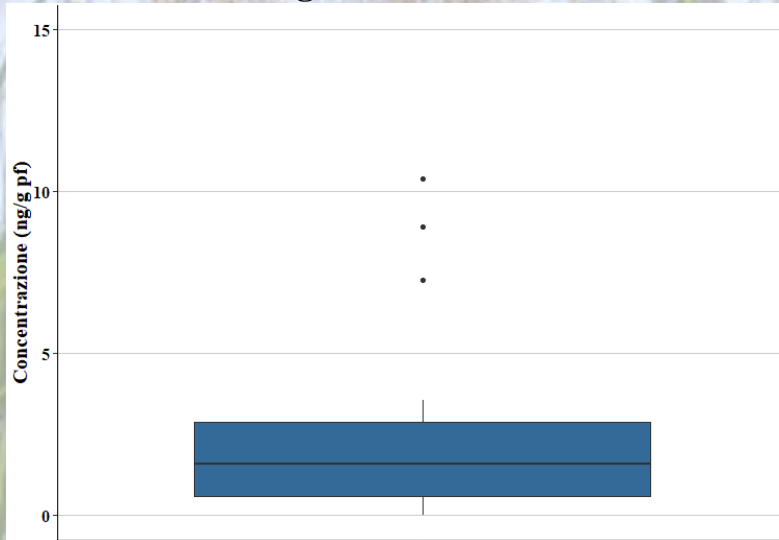
Composti
PFBA
PFPeA
PFHxA
PFHpA
PFOA
PFNA
PFDA
PFUnA
PFDoDA
PFBS
PFHxS
PFOS

Campioni fortificati		
Radice	Fusto	Foglia
7.6	12.3	13.7
19.0	10.1	10.6
12.4	7.1	12.9
23.6	9.3	23.8
10.3	13.7	16.2
9.7	16.2	27.3
22.4	12.3	12.6
12.2	17.3	
18.3	8.2	
12.2	11.9	14.4
9.9	11.4	8.8
38.8	31.2	65.6

Campioni tal quali		
Radice	Fusto	Foglia
	30.7	9.4
7.5	125.3	15.6
9.0		41.3
7.8	59.9	58.1
		37.6
19.2	70.5	74.2
124.5	64.9	60.1
	104.5	68.6
2.3	142.6	21.2
		21.3
		18.0
		87.0

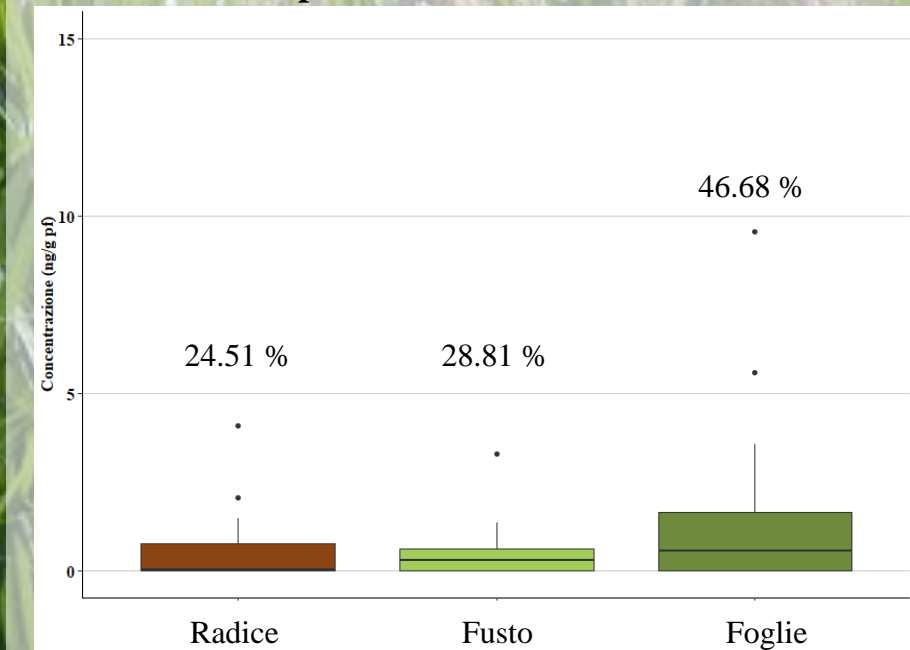
Risultati preliminari

Σ PFAS
Phragmites 2019-2020



Pool di piante analizzate: 31
Frequenza: 97%
Media: 5.21 ng/g pf
Mediana: 1.60 ng/g pf
Minimo: <LOD
Massimo: 10.41 ng/g pf

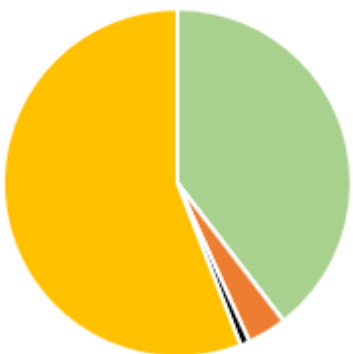
Ripartizione tra le frazioni



Ripartizione dei composti

Phragmites
2019-2020

Radice



Fusto

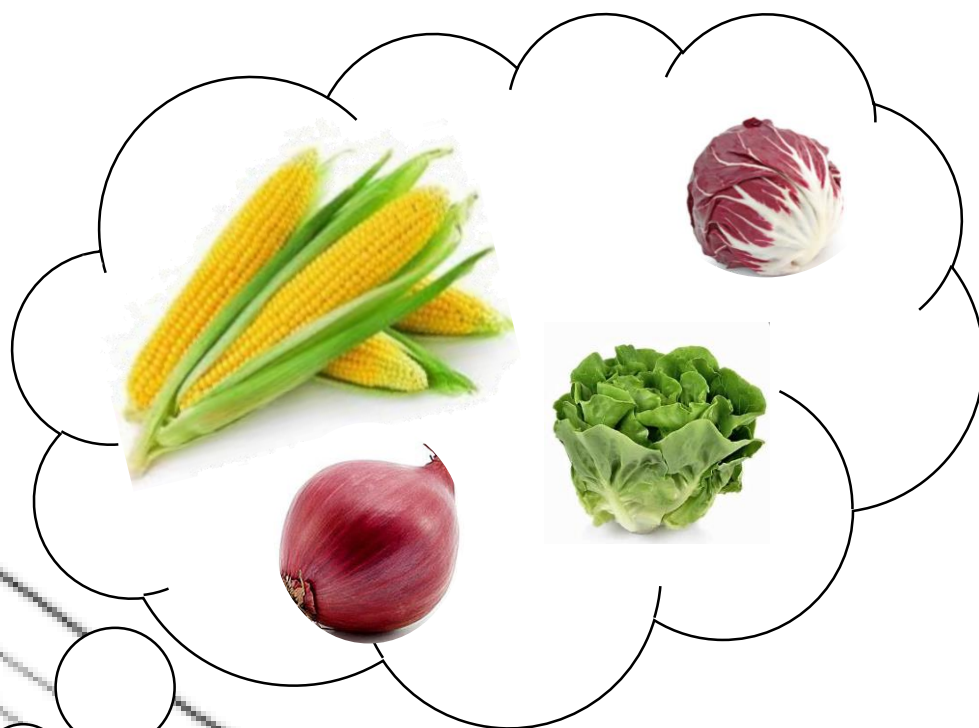
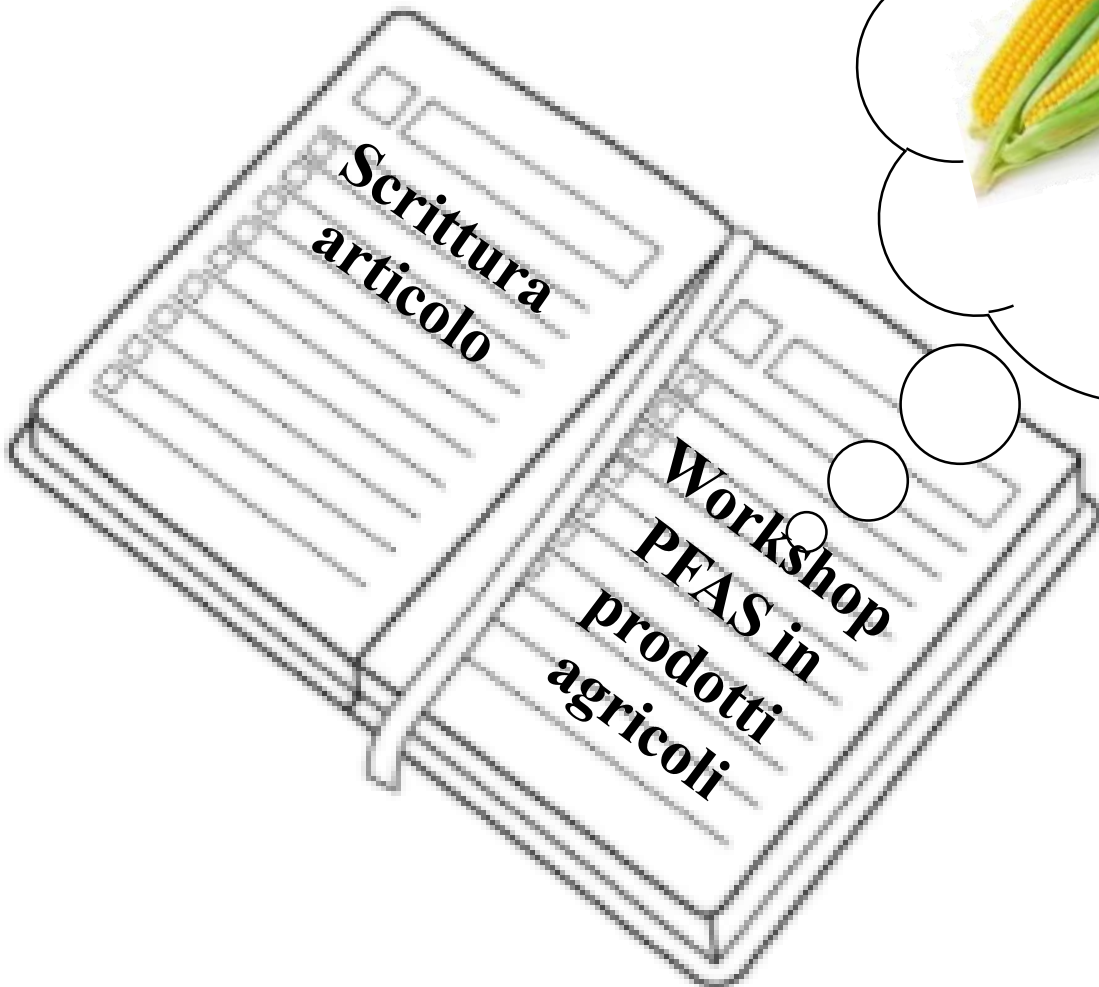


Foglie



■ PFAS C4-7 ■ PFHxS + PFOS ■ PFOA ■ PFAS C9-12

Risultati definitivi



Grazie per l'attenzione

Claudia Ferrario, Stefano Polesello e Sara Valsecchi
IRSA-CNR Brugherio



WITH THE CONTRIBUTION OF THE LIFE FINANCIAL
INSTRUMENT OF THE EUROPEAN UNION
LIFE16ENV/IT/000488 - LIFE PHOENIX